

曲線プレートガーダーの垂直補剛材の強度設計について

大阪府立大学 工学部 正員 中井 博 大阪府立大学 工学部 正員 北田 俊行
川崎重工技術研究所 正員 大南 亮一 大阪府立大学 工学部 学生員 ○福本 和弘

1. まえがき

せん断を受けるプレートガーダーの終局状態において、垂直補剛材はプラットトラスの垂直部材的な挙動を呈し、おもに軸方向圧縮力を受ける。しかしながら、曲線プレートガーダーにおいては、曲率の影響により、軸方向圧縮力のほか曲率中心に向う横荷重も受ける。このような垂直補剛材の耐荷力を、筆者らはすでに張力場理論に基づくはり柱モデルで解析できることを提案した¹⁾。ここでは、上述のはり柱モデルを用い、曲線プレートガーダーの終局状態における垂直補剛材の合理的設計法について考察するものである。

2. はり柱モデルによる垂直補剛材の耐荷力

(a) はり柱モデル 曲線プレートガーダーが終局状態に至ったとき、垂直補剛材に作用する各種の荷重は、Fig. 1 のようになる。これらの力に抵抗するはり柱モデルの断面としては、腹板の有効幅を考慮し、T型断面とした。このモデルの境界条件を両端単純支持と仮定して Galerkin 法を適用し、たわみに対する附加曲げモーメントを考慮した断面力を算定した。

3. 垂直補剛材の軸方向ひずみ分布 道路橋示方書(以下

JSHB とよぶ)規定の約 0.5 倍の垂直補剛材剛比を有する筋(No. 1), および、約 1.0 倍のものを有する筋(No. 2)

のせん断耐荷力実験結果と比較して、前述のはり柱モデルによる解析法の妥当性を検討する。まず、No. 1 筋の各荷重段階における垂直補剛材の軸方向ひずみ分布と、はり柱モデルによる解析結果とを Fig. 2 に示す。同図より定量的にもひずみ分布の一一致がみられ、提案したはり柱モデルによる解析法が妥当であることがわかる。

4. 垂直補剛材の耐荷力 No. 2 筋は、Fig. 3 に示す実験後の残留たわみの実測値より垂直補剛材の崩壊が観察された。また、実験結果を詳細に検討した結果、筋の終局状態と

ほぼ同時にこの垂直補剛材は崩壊していることがわかった。一方、No. 2 筋のはり柱モデルに対する軸方向圧縮力と曲げモーメントの相関関係 $M/M_p \sim P/P_s$ を示すと、Fig. 4 のようになる。

図中には、同筋の垂直補剛材の終局状態におけるはり柱

モデルによって算定された M/M_p 値および P/P_s の値がプロット

してある。解析結果がほぼ降伏線上に位置していることから、Fig. 3 Collaps of Test Girder

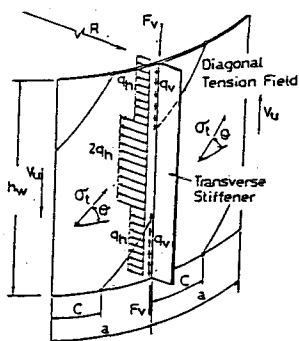


Fig. 1 Analytical Model of Transverse Stiffener

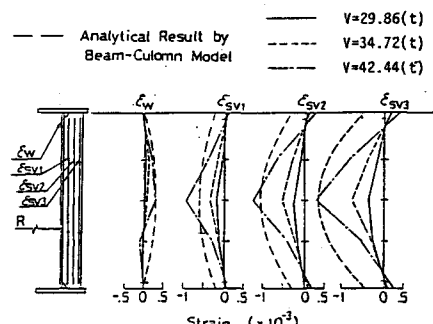
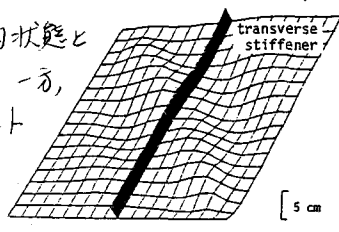


Fig. 2 Strain Distribution in Transverse Stiffener (Gieder No. 1)



(Girder No. 2)

はり一柱モデルの降伏線が桁の終局状態に対して必要な垂直補剛材の剛度を決める一つの重要な指標になると考えられる。

3. 垂直補剛材の設計法の検討

(a) 弾性座屈理論に基づいて設計された垂直補剛材の耐荷力 JSHBK

より設計した垂直補剛材のはり一柱モデルに対する相関曲線の一例を

Fig. 5 に示す。図には、腹板ハーネルの中心角 $\Phi = 0$ (直線桁), 0.0313

(曲率半径 $R = 35\text{m}$ に相当), 0.0547 (曲率半径 $R = 20\text{m}$ に相当) の

場合に対応する荷重状態がプロットしてある。同図より、 $\Phi = 0.0547$

の場合場合には垂直補剛材が全塑性曲線を大きく上回る Fig. 4

ることになり、桁の終局状態では垂直補剛材は崩壊して、十分な張力場が期待できないことになる。

(b) 曲線プレートガーダーの垂直補剛材剛度に対する提案

はり一柱モデルが降伏線に位置するような垂直補剛材断面を設計し、

その断面の剛度を曲線プレートガーダーにわ

けた所要剛比 r_{reg} と定義する。つぎに、

r_{reg} と JSHB による必要最小剛比 r_{req}

との比、すなわち

$$\beta = r_{reg} / r_{req}$$

を求める。そして、実橋の諸元に基づいて数値計算を行い、

この 3 値を無次元曲率パラメータ $Z (= \alpha / R \cdot t_w \cdot \sqrt{1 - \mu^2})$ とアベベ化

ベシの関数として表わしたものを作成する。同図から β の

値および Z の大きい範囲では、 $\beta > 1$ としなければならない

ことがわかる。終局状態で垂直補剛材が荷組作用の機能

をはたすために、曲線桁の垂直補剛材剛度は r_{req} より大き

くする必要がある。そこで、Fig. 6 の結果を基にして曲線プレートガーダーの終局状態における垂直補剛材の所要剛度を決める式として、次式が提案できる。

$$r_{req}^c = \beta \cdot r_{req}^{JSHB}$$

$$\beta = 1.0 + (\alpha - 0.69) Z \{ 9.38Z - 7.67 - (1.49Z - 1.78)Z \}$$

$$(0.69 \leq \alpha \leq 1.0)$$

$$\beta = 1.0, (\alpha < 0.69)$$

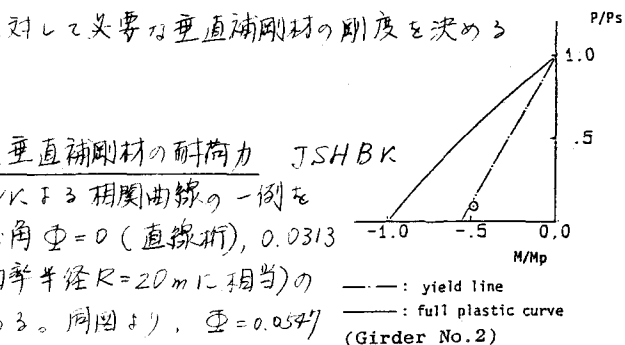
---- (2)

---- (3)

参考文献 1) 中井他：せん断を受けた曲線桁腹板の垂直補剛材の

挙動に関する実験的研究、第37回年講、I-192, pp. 385~384, 1982年

4月



M/M_p-P/P_s Interaction for
Beam-Column Model of Transverse
Stiffener in Test Girder

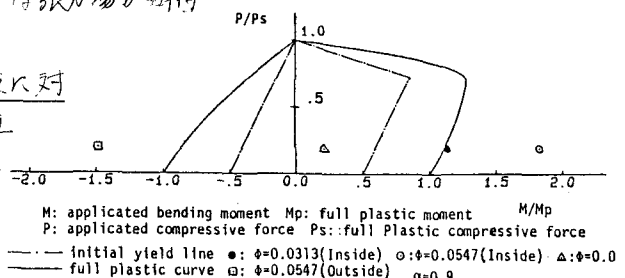


Fig. 5 Strength of Transverse Stiffener designed by JSHB under Conditions $A_f/A_w=0.2$ and $b/t_w=152$

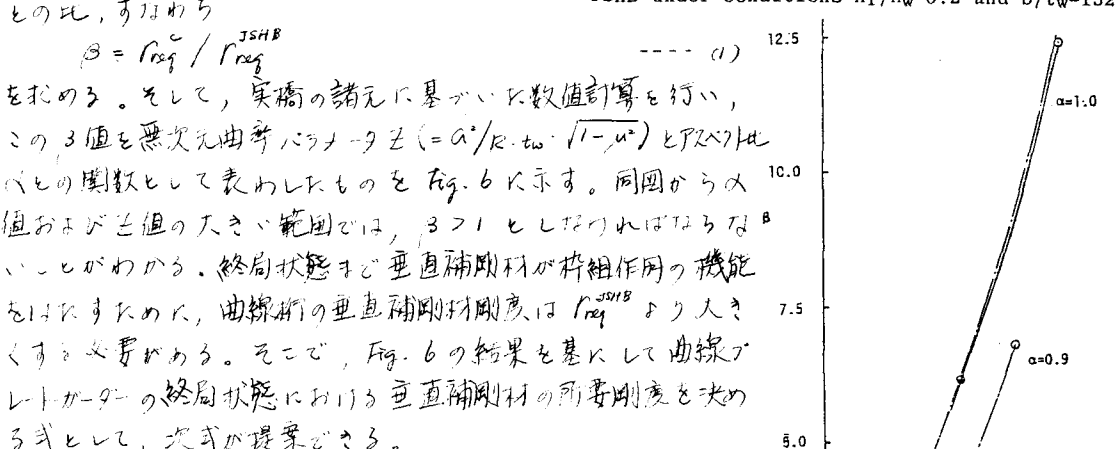


Fig. 6 β - Z Curve